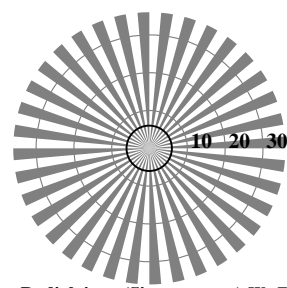


### Radialgitter (Siemensstern) W-N

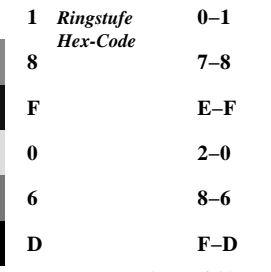


### Radialgitter (Siemensstern) W-Z

$L^*/Y_{intended}$ (absolut)	0.0/0.0	23.8/4.0	47.7/16.5	71.5/43.0	95.4/88.5	$N_0(min.)$	$W_I(max.)$
$w^* w^* w^*$ <i>setrgb</i> $g_P=1.0$							
<i>Nr. und Hex-Code</i>	00;4	01;3	02;2	03;1	04;0		
$w^*=l^*$ <i>CIE LAB, r</i> (relativ)							
$w^*_{intended}$	0,000	0,250	0,500	0,750	1,000	$N_0(min.)$	$W_I(max.)$
$w^*_{out}$	0.0	0.25	0.5	0.75	1.0		

$L^*/Y_{\text{intended}}$ (absolut)	0.0/0.0	6.3/0.7	12.7/1.5	19.0/2.7	25.4/4.5	31.8/6.9	38.1/10.1	44.5/14.2
$w^* w^* w^*$ <i>setrgb</i> $g_P=1.0$								
<i>Nr. und Hex-Code</i>	00;F	01;E	02;D	03;C	04;B	05;A	06;9	07;8
$w^*=l^*$ <i>CIELAB, r</i> (relativ)								
$w^*_{\text{intended}}$	0,000	0,067	0,133	0,200	0,267	0,333	0,400	0,467
$w^*_{\text{out}}$	0.0	0.067	0.133	0.2	0.267	0.333	0.4	0.467

Gesehener Y-Kontrast  $Y_W:Y_N=88,9:0,31$ ;  $Y_N$ -Bereich 0,0 to  $<0,46$  Ausgabe 130-0:  $g_P=1,0$ ;  $g_N=1,0$



**Code: Umfeld-Ring**

	120	128	136	144	152	160	168	176	184	192	200	208	216	224	232	240	
120 (+8)																	240
60 (+4)																	120
30 (+2)																	60
15 (+1)																	30
	15	16	17	18	19	20	21	22	23	24	25	26	27	28	29	30	

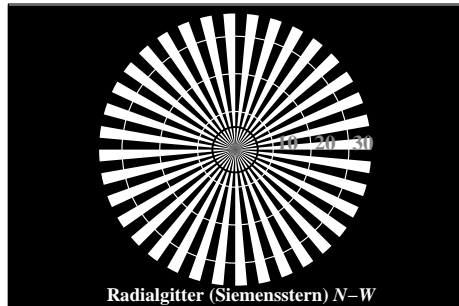
Rasterweite in lpi

	120	128	136	144	152	160	168	176	184	192	200	208	216	224	232	240	
<b>120</b> (+8)																	<b>240</b>
<b>60</b> (+4)																	<b>120</b>
<b>30</b> (+2)																	<b>60</b>
<b>15</b> (+1)																	<b>30</b>
	15	16	17	18	19	20	21	22	23	24	25	26	27	28	29	30	

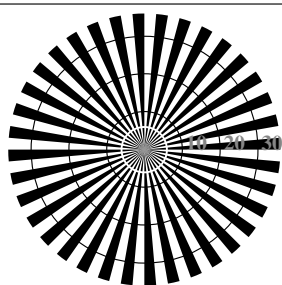
*Rasterweite in lpi*

4.2	50.8/19.1	57.2/25.1	63.6/32.3	69.9/40.7	76.3/50.4	82.6/61.5	89.0/74.2	95.4/88.5
8	08;7	09;6	10;5	11;4	12;3	13;2	14;1	15;0
0.67 0.67	0.533 0.533	0.600 0.6	0.667 0.667	0.733 0.733	0.800 0.8	0.867 0.867	0.933 0.933	1.000 1.0

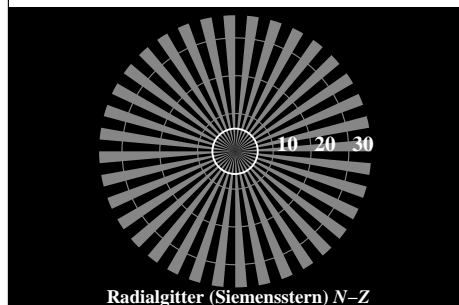
46Ausgabe 130-0:  $g_P=1.0$ ;  $g_N=1.0$



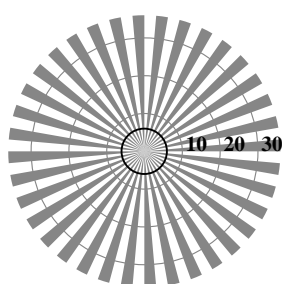
Radialgitter (Siemensstern) N-W



Radialgitter (Siemensstern) W-N



Radialgitter (Siemensstern) N-Z



Radialgitter (Siemensstern) W-Z

OG620-3N, Bild A1-131-0: Radialgitter N-W, W-N, N-Z, W-Z; PS-Operator:  $w^* w^* w^* \text{setrgbcolor}$

$L^*/Y_{\text{intended}}$ (absolut)	5.6/0.6	28.1/5.5	50.5/18.8	72.9/45.1	95.4/88.5	$N_0$ (min.)	$W_1$ (max.)
$w^* w^* w^*$ $\text{setrgb}$ $g_p=0.84$							
Nr. und Hex-Code	00;4	01;3	02;2	03;1	04;0		
$w^* = l^*$ CIELAB, r (relativ)							
$w^*_{\text{intended}}$	0,000	0,250	0,500	0,750	1,000	$N_0$ (min.)	$W_1$ (max.)
$w^*_{\text{out}}$	0.0	0.308	0.555	0.783	1.0		

OG620-5N, Bild A2-131-0: 5 gleichabständige  $L^*$ -Graustufen +  $N_0$  +  $W_1$ ; PS-Operator:  $w^* w^* w^* \text{setrgbcolor}$

$L^*/Y_{\text{intended}}$ (absolut)	5.6/0.6	11.6/1.3	17.6/2.4	23.6/3.9	29.6/6.0	35.5/8.8	41.5/12.2	47.5/16.4	53.5/21.5	59.5/27.5	65.5/34.6	71.4/42.8	77.4/52.3	83.4/63.0	89.4/75.0	95.4/88.5
$w^* w^* w^*$ $\text{setrgb}$ $g_p=0.84$																
Nr. und Hex-Code	00;F	01;E	02;D	03;C	04;B	05;A	06;9	07;8	08;7	09;6	10;5	11;4	12;3	13;2	14;1	15;0
$w^* = l^*$ CIELAB, r (relativ)																
$w^*_{\text{intended}}$	0,000	0,067	0,133	0,200	0,267	0,333	0,400	0,467	0,533	0,600	0,667	0,733	0,800	0,867	0,933	1,000
$w^*_{\text{out}}$	0.0	0.101	0.188	0.255	0.326	0.393	0.46	0.524	0.586	0.648	0.709	0.768	0.827	0.886	0.942	1.0

OG620-7N, Bild A3-131-0: 16 visuell gleichabständige  $L^*$ -Graustufen; PS-Operator:  $w^* w^* w^* \text{setrgbcolor}$

OG62: ähnlich MG16 nach ISO 9241-306; 1MR, DEH

Gesehener Y-Kontrast  $Y_W:Y_N=88,9:0,62$ ;  $Y_N$ -Bereich 0,46 to <0,9  
Eingabe:  $\text{cmy0} (-> \text{rgb}^*_{\text{de}}) \text{setcmyk}$   
Ausgabe 131-0:  $g_p=0.92$ ;  $g_N=1.0$

Umfeldstufe	0	1	Ringstufe	0-1
Hex-Code			Hex-Code	
7		8	7-8	
E		F	E-F	
2		0	2-0	
8		6	8-6	
F		D	F-D	

Landoltringe W-N

Code: Umfeld-Ring

OG621-1N, Bild A4-131-0: Landoltringe W-N; PS-Operator:  $w^* w^* w^* \text{setrgbcolor}$

	120	128	136	144	152	160	168	176	184	192	200	208	216	224	232	240	
120 (+8)																	240
60 (+4)																	120
30 (+2)																	60
15 (+1)																	30
	15	16	17	18	19	20	21	22	23	24	25	26	27	28	29	30	

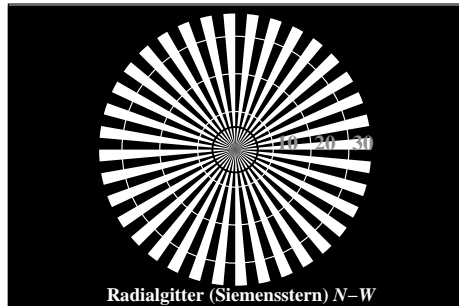
Rasterweite in lpi

OG621-3N, Bild A5-131-0: Linienraster unter 45° (oder 135°); PS-Operator:  $w^* w^* w^* \text{setrgbcolor}$

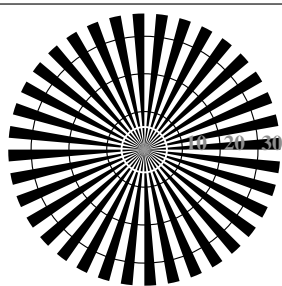
	120	128	136	144	152	160	168	176	184	192	200	208	216	224	232	240	
120 (+8)																	240
60 (+4)																	120
30 (+2)																	60
15 (+1)																	30
	15	16	17	18	19	20	21	22	23	24	25	26	27	28	29	30	

Rasterweite in lpi

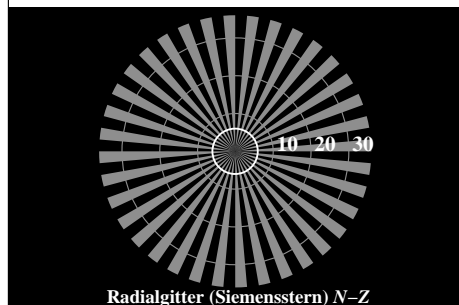
OG621-5N, Bild A6-131-0: Linienraster unter 90° (oder 0°); PS-Operator:  $w^* w^* w^* \text{setrgbcolor}$



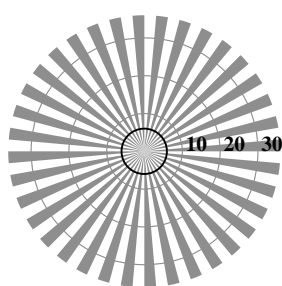
Radialgitter (Siemensstern) N-W



Radialgitter (Siemensstern) W-N



Radialgitter (Siemensstern) N-Z



Radialgitter (Siemensstern) W-Z

OG620-3N, Bild A1-132-0: Radialgitter N-W, W-N, N-Z, W-Z; PS-Operator:  $w^* w^* w^* \text{setrgbcolor}$

$L^*/Y_{\text{intended}}$ (absolut)	10.9/1.2	32.0/7.1	53.2/21.2	74.3/47.1	95.4/88.5	$N_0$ (min.)	$W_1$ (max.)
$w^* w^* w^* \text{setrgb}$ $g_p=0.73$							
Nr. und Hex-Code	00;4	01;3	02;2	03;1	04;0		
$w^* = [L^*_{\text{CIELAB}, r}]$ (relativ)							
$w^*_{\text{intended}}$	0,000	0,250	0,500	0,750	1,000	$N_0$ (min.)	$W_1$ (max.)
$w^*_{\text{out}}$	0.0	0.36	0.6	0.809	1.0		

OG620-5N, Bild A2-132-0: 5 gleichabständige  $L^*$ -Graustufen +  $N_0 + W_1$ ; PS-Operator:  $w^* w^* w^* \text{setrgbcolor}$

$L^*/Y_{\text{intended}}$ (absolut)	10.9/1.2	16.6/2.2	22.2/3.5	27.8/5.4	33.5/7.7	39.1/10.7	44.7/14.3	50.3/18.7	56.0/23.9	61.6/29.9	67.2/36.9	72.8/45.0	78.5/54.1	84.1/64.3	89.7/75.8	95.4/88.5
$w^* w^* w^* \text{setrgb}$ $g_p=0.73$																
Nr. und Hex-Code	00;F	01;E	02;D	03;C	04;B	05;A	06;9	07;8	08;7	09;6	10;5	11;4	12;3	13;2	14;1	15;0
$w^* = [L^*_{\text{CIELAB}, r}]$ (relativ)																
$w^*_{\text{intended}}$	0,000	0,067	0,133	0,200	0,267	0,333	0,400	0,467	0,533	0,600	0,667	0,733	0,800	0,867	0,933	1,000
$w^*_{\text{out}}$	0.0	0.137	0.226	0.306	0.378	0.445	0.509	0.571	0.629	0.686	0.742	0.795	0.848	0.9	0.95	1.0

OG620-7N, Bild A3-132-0: 16 visuell gleichabständige  $L^*$ -Graustufen; PS-Operator:  $w^* w^* w^* \text{setrgbcolor}$

OG62: ähnlich MG16 nach ISO 9241-306; 1MR, DEH

Gesehener Y-Kontrast  $Y_W:Y_N=88,9:1,25$ ;  $Y_N$ -Bereich 0,93 to <1,8  
Eingabe:  $\text{cmy0} (-> \text{rgb}^*_{\text{de}}) \text{setcmyk}$   
Ausgabe 132-0:  $g_p=0.85$ ;  $g_N=1.0$

Umfeldstufe	0	7	E	2	8	F
Hex-Code						

Ringstufe	0-1	7-8	E-F	2-0	8-6	F-D
Hex-Code						

Landoltringe W-N

Code: Umfeld-Ring

OG621-1N, Bild A4-132-0: Landoltringe W-N; PS-Operator:  $w^* w^* w^* \text{setrgbcolor}$

	120	128	136	144	152	160	168	176	184	192	200	208	216	224	232	240	
120 (+8)																	240
60 (+4)																	120
30 (+2)																	60
15 (+1)																	30
	15	16	17	18	19	20	21	22	23	24	25	26	27	28	29	30	

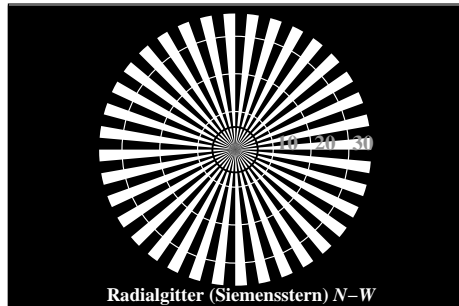
Rasterweite in lpi

OG621-3N, Bild A5-132-0: Linienraster unter 45° (oder 135°); PS-Operator:  $w^* w^* w^* \text{setrgbcolor}$

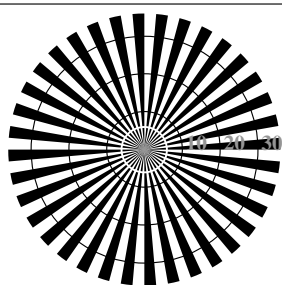
	120	128	136	144	152	160	168	176	184	192	200	208	216	224	232	240	
120 (+8)																	240
60 (+4)																	120
30 (+2)																	60
15 (+1)																	30
	15	16	17	18	19	20	21	22	23	24	25	26	27	28	29	30	

Rasterweite in lpi

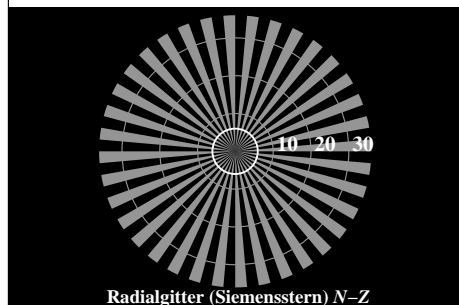
OG621-5N, Bild A6-132-0: Linienraster unter 90° (oder 0°); PS-Operator:  $w^* w^* w^* \text{setrgbcolor}$



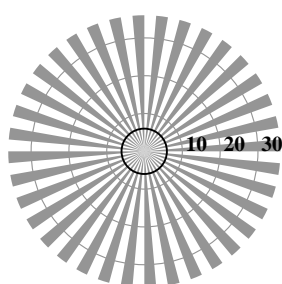
Radialgitter (Siemensstern) N-W



Radialgitter (Siemensstern) W-N



Radialgitter (Siemensstern) N-Z



Radialgitter (Siemensstern) W-Z

OG620-3N, Bild A1-133-0: Radialgitter N-W, W-N, N-Z, W-Z; PS-Operator:  $w^* w^* w^* \text{setrgbcolor}$

$L^*/Y_{\text{intended}}$ (absolut)	18.0/2.5	37.3/9.7	56.7/24.6	76.0/49.9	95.4/88.5	$N_0$ (min.)	$W_1$ (max.)
$w^* w^* w^*$ $\text{setrgb}$ $g_p=0.64$							
Nr. und Hex-Code	00;4	01;3	02;2	03;1	04;0		
$w^* = l^*$ CIELAB, r (relativ)							
$w^*_{\text{intended}}$	0,000	0,250	0,500	0,750	1,000	$N_0$ (min.)	$W_1$ (max.)
$w^*_{\text{out}}$	0.0	0.406	0.637	0.829	1.0		

OG620-5N, Bild A2-133-0: 5 gleichabständige  $L^*$ -Graustufen +  $N_0$  +  $W_1$ ; PS-Operator:  $w^* w^* w^* \text{setrgbcolor}$

$L^*/Y_{\text{intended}}$ (absolut)	18.0/2.5	23.1/3.8	28.3/5.5	33.4/7.7	38.6/10.4	43.8/13.7	48.9/17.5	54.1/22.0	59.2/27.3	64.4/33.3	69.6/40.1	74.7/47.9	79.9/56.5	85.0/66.1	90.2/76.8	95.4/88.5
$w^* w^* w^*$ $\text{setrgb}$ $g_p=0.64$																
Nr. und Hex-Code	00;F	01;E	02;D	03;C	04;B	05;A	06;9	07;8	08;7	09;6	10;5	11;4	12;3	13;2	14;1	15;0
$w^* = l^*$ CIELAB, r (relativ)																
$w^*_{\text{intended}}$	0,000	0,067	0,133	0,200	0,267	0,333	0,400	0,467	0,533	0,600	0,667	0,733	0,800	0,867	0,933	1,000
$w^*_{\text{out}}$	0.0	0.172	0.269	0.351	0.424	0.489	0.551	0.609	0.664	0.717	0.768	0.817	0.865	0.911	0.955	1.0

OG620-7N, Bild A3-133-0: 16 visuell gleichabständige  $L^*$ -Graustufen; PS-Operator:  $w^* w^* w^* \text{setrgbcolor}$

OG62: ähnlich MG16 nach ISO 9241-306; 1MR, DEH

Gesehener Y-Kontrast  $Y_W:Y_N=88,9:2,5$ ;  $Y_N$ -Bereich 1,87 to <3,75 Ausgabe 133-0:  $g_p=0.77$ ;  $g_N=1.0$

Umfeldstufe	0	1	Ringstufe	0-1
Hex-Code			Hex-Code	
E			F	E-F
2			0	2-0
8			6	8-6
F			D	F-D

Landoltringe W-N

Code: Umfeld-Ring

OG621-1N, Bild A4-133-0: Landoltringe W-N; PS-Operator:  $w^* w^* w^* \text{setrgbcolor}$

	120	128	136	144	152	160	168	176	184	192	200	208	216	224	232	240	
120 (+8)																	240
60 (+4)																	120
30 (+2)																	60
15 (+1)																	30
	15	16	17	18	19	20	21	22	23	24	25	26	27	28	29	30	

Rasterweite in lpi

OG621-3N, Bild A5-133-0: Linienraster unter 45° (oder 135°); PS-Operator:  $w^* w^* w^* \text{setrgbcolor}$

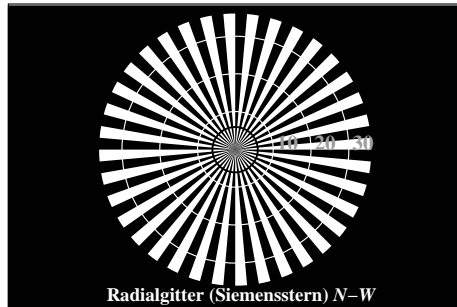
	120	128	136	144	152	160	168	176	184	192	200	208	216	224	232	240	
120 (+8)																	240
60 (+4)																	120
30 (+2)																	60
15 (+1)																	30
	15	16	17	18	19	20	21	22	23	24	25	26	27	28	29	30	

Rasterweite in lpi

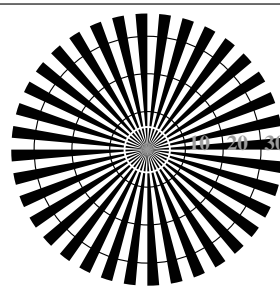
OG621-5N, Bild A6-133-0: Linienraster unter 90° (oder 0°); PS-Operator:  $w^* w^* w^* \text{setrgbcolor}$

Eingabe:  $\text{cmy0} (-> \text{rgb}^*_{\text{de}}) \text{setcmyk}$

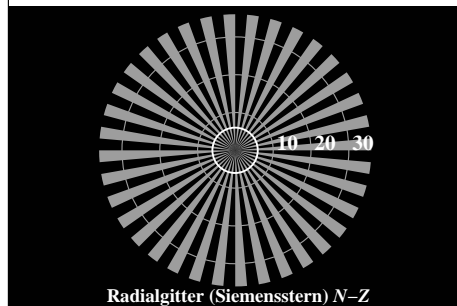




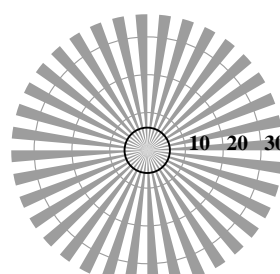
Radialgitter (Siemensstern) N-W



Radialgitter (Siemensstern) W-N



Radialgitter (Siemensstern) N-Z



Radialgitter (Siemensstern) W-Z

OG620-3N, Bild A1-134-0: Radialgitter N-W, W-N, N-Z, W-Z; PS-Operator:  $w^*w^*w^*$  setrgbcolor

$L^*/Y_{\text{intended}}$ (absolut)	26.8/5.0	43.9/13.8	61.1/29.3	78.2/53.6	95.4/88.5	$N_0$ (min.)	$W_1$ (max.)
$w^*w^*w^*$ setrgb $g_p=0.58$							
Nr. und Hex-Code	00;4	01;3	02;2	03;1	04;0		
$w^*=l^*$ CIELAB, r (relativ)							
$w^*_{\text{intended}}$	0,000	0,250	0,500	0,750	1,000	$N_0$ (min.)	$W_1$ (max.)
$w^*_{\text{out}}$	0.0	0.446	0.668	0.845	1.0		

OG620-5N, Bild A2-134-0: 5 gleichabständige  $L^*$ -Graustufen+ $N_0+W_1$ ; PS-Operator:  $w^*w^*w^*$  setrgbcolor

$L^*/Y_{\text{intended}}$ (absolut)	26.8/5.0	31.4/6.8	35.9/9.0	40.5/11.5	45.1/14.6	49.7/18.1	54.2/22.2	58.8/26.8	63.4/32.0	67.9/37.9	72.5/44.4	77.1/51.7	81.6/59.7	86.2/68.5	90.8/78.1	95.4/88.5
$w^*w^*w^*$ setrgb $g_p=0.58$																
Nr. und Hex-Code	00;F	01;E	02;D	03;C	04;B	05;A	06;9	07;8	08;7	09;6	10;5	11;4	12;3	13;2	14;1	15;0
$w^*=l^*$ CIELAB, r (relativ)																
$w^*_{\text{intended}}$	0,000	0,067	0,133	0,200	0,267	0,333	0,400	0,467	0,533	0,600	0,667	0,733	0,800	0,867	0,933	1,000
$w^*_{\text{out}}$	0.0	0.207	0.309	0.392	0.464	0.527	0.587	0.642	0.693	0.743	0.79	0.834	0.878	0.92	0.96	1.0

OG620-7N, Bild A3-134-0: 16 visuell gleichabständige  $L^*$ -Graustufen; PS-Operator:  $w^*w^*w^*$  setrgbcolor

OG62: ähnlich MG16 nach ISO 9241-306; 1MR, DEH  
Gesehener Y-Kontrast  $Y_W:Y_N=88,9:5$ ;  $Y_N$ -Bereich 3,75 to <7,5

Umfeldstufe	0	7	E	2	8	F
Hex-Code						

Ringstufe	0-1	7-8	E-F	2-0	8-6	F-D
Hex-Code						

Landoltringe W-N

Code: Umfeld-Ring

OG621-1N, Bild A4-134-0: Landoltringe W-N; PS-Operator:  $w^*w^*w^*$  setrgbcolor

	120	128	136	144	152	160	168	176	184	192	200	208	216	224	232	240	
120 (+8)																	240
60 (+4)																	120
30 (+2)																	60
15 (+1)																	30
	15	16	17	18	19	20	21	22	23	24	25	26	27	28	29	30	

Rasterweite in lpi

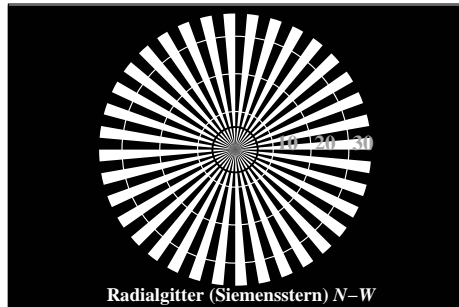
OG621-3N, Bild A5-134-0: Linienraster unter 45° (oder 135°); PS-Operator:  $w^*w^*w^*$  setrgbcolor

	120	128	136	144	152	160	168	176	184	192	200	208	216	224	232	240	
120 (+8)																	240
60 (+4)																	120
30 (+2)																	60
15 (+1)																	30
	15	16	17	18	19	20	21	22	23	24	25	26	27	28	29	30	

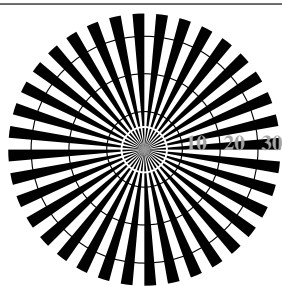
Rasterweite in lpi

OG621-5N, Bild A6-134-0: Linienraster unter 90° (oder 0°); PS-Operator:  $w^*w^*w^*$  setrgbcolor

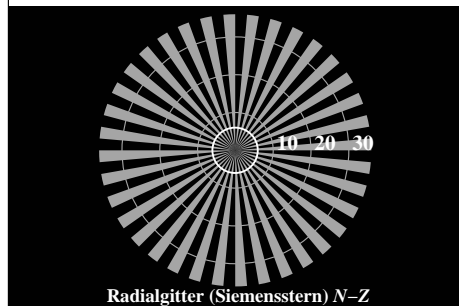
Eingabe:  $cm\bar{y}0$  ( $\rightarrow rgb^*_{de}$ ) setcmyk  
Ausgabe 134-0:  $g_p=0.7$ ;  $g_N=1.0$



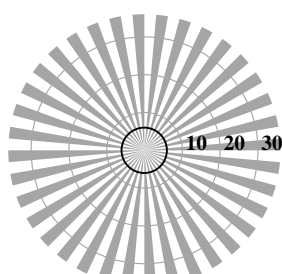
Radialgitter (Siemensstern) N-W



Radialgitter (Siemensstern) W-N



Radialgitter (Siemensstern) N-Z



Radialgitter (Siemensstern) W-Z

OG620-3N, Bild A1-135-0: Radialgitter N-W, W-N, N-Z, W-Z; PS-Operator:  $w^* w^* w^* \text{setrgbcolor}$

$L^*/Y_{\text{intended}}$ (absolut)	37.9/10.0	52.3/20.4	66.6/36.2	81.0/58.5	95.4/88.5	$N_0(\text{min.})$	$W_1(\text{max.})$
$w^* w^* w^* \text{setrgb}$ $g_p=0.52$							
Nr. und Hex-Code	00;4	01;3	02;2	03;1	04;0		
$w^* = [L^*_{\text{CIELAB}, r}]$ (relativ)							
$w^*_{\text{intended}}$	0,000	0,250	0,500	0,750	1,000	$N_0(\text{min.})$	$W_1(\text{max.})$
$w^*_{\text{out}}$	0,0	0,482	0,694	0,859	1,0		

OG620-5N, Bild A2-135-0: 5 gleichabständige  $L^*$ -Graustufen+ $N_0+W_1$ ; PS-Operator:  $w^* w^* w^* \text{setrgbcolor}$

$L^*/Y_{\text{intended}}$ (absolut)	37.9/10.0	41.8/12.3	45.6/15.0	49.4/17.9	53.2/21.3	57.1/25.0	60.9/29.1	64.7/33.7	68.6/38.8	72.4/44.3	76.2/50.3	80.0/56.8	83.9/63.9	87.7/71.5	91.5/79.7	95.4/88.5
$w^* w^* w^* \text{setrgb}$ $g_p=0.52$																
Nr. und Hex-Code	00;F	01;E	02;D	03;C	04;B	05;A	06;9	07;8	08;7	09;6	10;5	11;4	12;3	13;2	14;1	15;0
$w^* = [L^*_{\text{CIELAB}, r}]$ (relativ)																
$w^*_{\text{intended}}$	0,000	0,067	0,133	0,200	0,267	0,333	0,400	0,467	0,533	0,600	0,667	0,733	0,800	0,867	0,933	1,000
$w^*_{\text{out}}$	0,0	0,241	0,345	0,428	0,499	0,56	0,617	0,669	0,718	0,764	0,808	0,849	0,889	0,927	0,964	1,0

OG620-7N, Bild A3-135-0: 16 visuell gleichabständige  $L^*$ -Graustufen; PS-Operator:  $w^* w^* w^* \text{setrgbcolor}$

OG62: ähnlich MG16 nach ISO 9241-306; 1MR, DEH  
Gesehener Y-Kontrast  $Y_W:Y_N=88,9:10$ ;  $Y_N$ -Bereich 7,5 to <15

Umfeldstufe	0	7	E	2	8	F
Hex-Code						
Ringstufe	0-1	7-8	E-F	2-0	8-6	F-D
Hex-Code						

Landoltringe W-N

Code: Umfeld-Ring

OG621-1N, Bild A4-135-0: Landoltringe W-N; PS-Operator:  $w^* w^* w^* \text{setrgbcolor}$

	120	128	136	144	152	160	168	176	184	192	200	208	216	224	232	240	
120 (+8)																	240
60 (+4)																	120
30 (+2)																	60
15 (+1)																	30
	15	16	17	18	19	20	21	22	23	24	25	26	27	28	29	30	

Rasterweite in lpi

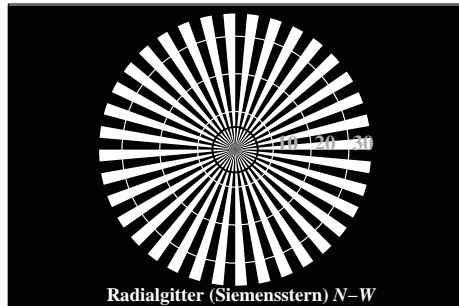
OG621-3N, Bild A5-135-0: Linienraster unter 45° (oder 135°); PS-Operator:  $w^* w^* w^* \text{setrgbcolor}$

	120	128	136	144	152	160	168	176	184	192	200	208	216	224	232	240	
120 (+8)																	240
60 (+4)																	120
30 (+2)																	60
15 (+1)																	30
	15	16	17	18	19	20	21	22	23	24	25	26	27	28	29	30	

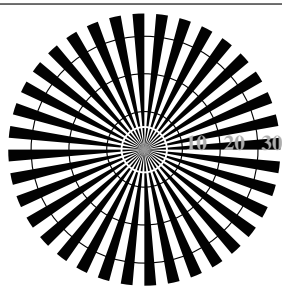
Rasterweite in lpi

OG621-5N, Bild A6-135-0: Linienraster unter 90° (oder 0°); PS-Operator:  $w^* w^* w^* \text{setrgbcolor}$

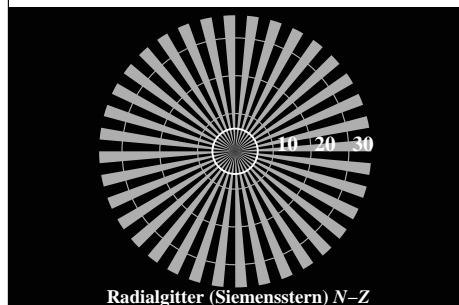
Eingabe:  $\text{cmy0} (-> \text{rgb}^*_{\text{de}}) \text{setcmyk}$   
Ausgabe 135-0:  $g_p=0.62$ ;  $g_N=1.0$



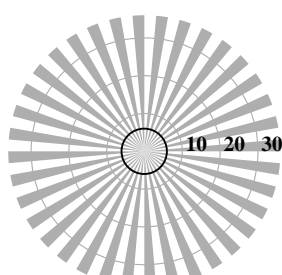
Radialgitter (Siemensstern) N-W



Radialgitter (Siemensstern) W-N



Radialgitter (Siemensstern) N-Z



Radialgitter (Siemensstern) W-Z

OG620-3N, Bild A1-136-0: Radialgitter N-W, W-N, N-Z, W-Z; PS-Operator:  $w^* w^* w^* \text{setrgbcolor}$

$L^*/Y_{\text{intended}}$ (absolut)	52.0/20.1	62.8/31.4	73.7/46.2	84.5/65.1	95.4/88.5	$N_0$ (min.)	$W_1$ (max.)
$w^* w^* w^* \text{setrgb}$ $g_p=0.48$							
Nr. und Hex-Code	00;4	01;3	02;2	03;1	04;0		
$w^* = [L^*_{\text{CIELAB}, r}]$ (relativ)							
$w^*_{\text{intended}}$	0.000	0.250	0.500	0.750	1.000	$N_0$ (min.)	$W_1$ (max.)
$w^*_{\text{out}}$	0.0	0.513	0.716	0.87	1.0		

OG620-5N, Bild A2-136-0: 5 gleichabständige  $L^*$ -Graustufen +  $N_0$  +  $W_1$ ; PS-Operator:  $w^* w^* w^* \text{setrgbcolor}$

$L^*/Y_{\text{intended}}$ (absolut)	52.0/20.1	54.9/22.8	57.8/25.7	60.6/28.9	63.5/32.2	66.4/35.9	69.3/39.8	72.2/44.0	75.1/48.5	78.0/53.3	80.9/58.3	83.8/63.7	86.7/69.4	89.6/75.4	92.5/81.8	95.4/88.5
$w^* w^* w^* \text{setrgb}$ $g_p=0.48$																
Nr. und Hex-Code	00;F	01;E	02;D	03;C	04;B	05;A	06;9	07;8	08;7	09;6	10;5	11;4	12;3	13;2	14;1	15;0
$w^* = [L^*_{\text{CIELAB}, r}]$ (relativ)																
$w^*_{\text{intended}}$	0.000	0.067	0.133	0.200	0.267	0.333	0.400	0.467	0.533	0.600	0.667	0.733	0.800	0.867	0.933	1.000
$w^*_{\text{out}}$	0.0	0.272	0.379	0.461	0.53	0.589	0.643	0.693	0.738	0.782	0.823	0.861	0.898	0.933	0.967	1.0

OG620-7N, Bild A3-136-0: 16 visuell gleichabständige  $L^*$ -Graustufen; PS-Operator:  $w^* w^* w^* \text{setrgbcolor}$

OG62: ähnlich MG16 nach ISO 9241-306; 1MR, DEH  
Gesehener Y-Kontrast  $Y_W:Y_N=88,9:20$ ;  $Y_N$ -Bereich 15 to <30

Umfeldstufe	0	1	Ringstufe	0-1
Hex-Code			Hex-Code	
7		8	7-8	
E		F	E-F	
2		0	2-0	
8		6	8-6	
F		D	F-D	

Landoltringe W-N

Code: Umfeld-Ring

OG621-1N, Bild A4-136-0: Landoltringe W-N; PS-Operator:  $w^* w^* w^* \text{setrgbcolor}$

	120	128	136	144	152	160	168	176	184	192	200	208	216	224	232	240	
120 (+8)																	240
60 (+4)																	120
30 (+2)																	60
15 (+1)																	30
	15	16	17	18	19	20	21	22	23	24	25	26	27	28	29	30	

Rasterweite in lpi

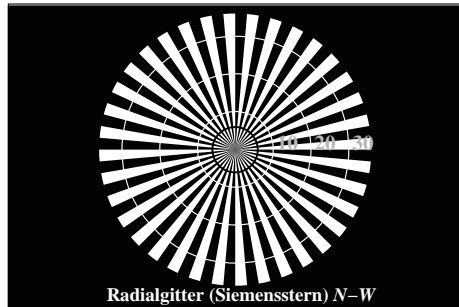
OG621-3N, Bild A5-136-0: Linienraster unter 45° (oder 135°); PS-Operator:  $w^* w^* w^* \text{setrgbcolor}$

	120	128	136	144	152	160	168	176	184	192	200	208	216	224	232	240	
120 (+8)																	240
60 (+4)																	120
30 (+2)																	60
15 (+1)																	30
	15	16	17	18	19	20	21	22	23	24	25	26	27	28	29	30	

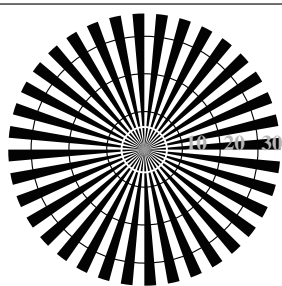
Rasterweite in lpi

OG621-5N, Bild A6-136-0: Linienraster unter 90° (oder 0°); PS-Operator:  $w^* w^* w^* \text{setrgbcolor}$

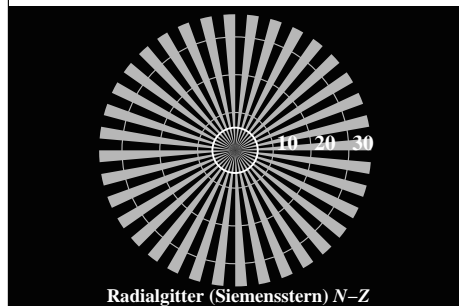
Eingabe:  $\text{cmy0} (-> \text{rgb}^*_{\text{de}}) \text{setcmyk}$   
Ausgabe 136-0:  $g_p=0.55$ ;  $g_N=1.0$



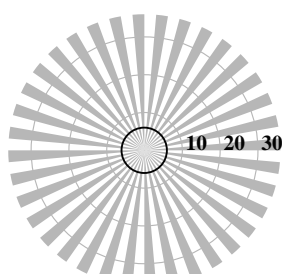
Radialgitter (Siemensstern) N-W



Radialgitter (Siemensstern) W-N



Radialgitter (Siemensstern) N-Z



Radialgitter (Siemensstern) W-Z

OG620-3N, Bild A1-137-0: Radialgitter N-W, W-N, N-Z, W-Z; PS-Operator: w\* w\* w\* setrgbcolor

$L^*/Y_{intended}$ (absolut)	69.6/40.3	76.1/50.0	82.5/61.3	88.9/74.1	95.4/88.5	$N_0$ (min.)	$W_1$ (max.)
w* w* w* setrgb $g_p=0.44$							
Nr. und Hex-Code	00;4	01;3	02;2	03;1	04;0		
w*= $l^*$ CIELAB, r (relativ)							
w* <sub>intended</sub>	0.000	0.250	0.500	0.750	1.000	$N_0$ (min.)	$W_1$ (max.)
w* <sub>out</sub>	0.0	0.541	0.735	0.88	1.0		

OG620-5N, Bild A2-137-0: 5 gleichabständige  $L^*$ -Graustufen+ $N_0$ + $W_1$ ; PS-Operator: w\* w\* w\* setrgbcolor

$L^*/Y_{intended}$ (absolut)	69.6/40.3	71.4/42.7	73.1/45.3	74.8/48.0	76.5/50.7	78.2/53.6	79.9/56.6	81.6/59.7	83.4/62.9	85.1/66.2	86.8/69.6	88.5/73.2	90.2/76.8	91.9/80.6	93.6/84.5	95.4/88.5
w* w* w* setrgb $g_p=0.44$																
Nr. und Hex-Code	00;F	01;E	02;D	03;C	04;B	05;A	06;9	07;8	08;7	09;6	10;5	11;4	12;3	13;2	14;1	15;0
w*= $l^*$ CIELAB, r (relativ)																
w* <sub>intended</sub>	0.000	0.067	0.133	0.200	0.267	0.333	0.400	0.467	0.533	0.600	0.667	0.733	0.800	0.867	0.933	1.000
w* <sub>out</sub>	0.0	0.302	0.409	0.49	0.557	0.614	0.666	0.713	0.756	0.797	0.835	0.871	0.905	0.938	0.969	1.0

OG620-7N, Bild A3-137-0: 16 visuell gleichabständige  $L^*$ -Graustufen; PS-Operator: w\* w\* w\* setrgbcolor

OG62: ähnlich MG16 nach ISO 9241-306; 1MR, DEH  
Gesehener Y-Kontrast  $Y_W:Y_N=88,9:40$ ;  $Y_N$ -Bereich 30 to <60

Umfeldstufe	0	1	Ringstufe	0-1
Hex-Code			Hex-Code	
E			F	E-F
2			0	2-0
8			6	8-6
F			D	F-D

Landoltringe W-N

Code: Umfeld-Ring

OG621-1N, Bild A4-137-0: Landoltringe W-N; PS-Operator: w\* w\* w\* setrgbcolor

	120	128	136	144	152	160	168	176	184	192	200	208	216	224	232	240	
120 (+8)																	240
60 (+4)																	120
30 (+2)																	60
15 (+1)																	30
	15	16	17	18	19	20	21	22	23	24	25	26	27	28	29	30	

Rasterweite in lpi

OG621-3N, Bild A5-137-0: Linienraster unter 45° (oder 135°); PS-Operator: w\* w\* w\* setrgbcolor

	120	128	136	144	152	160	168	176	184	192	200	208	216	224	232	240	
120 (+8)																	240
60 (+4)																	120
30 (+2)																	60
15 (+1)																	30
	15	16	17	18	19	20	21	22	23	24	25	26	27	28	29	30	

Rasterweite in lpi

OG621-5N, Bild A6-137-0: Linienraster unter 90° (oder 0°); PS-Operator: w\* w\* w\* setrgbcolor

Eingabe: cmy0 (->rgb\*<sub>de</sub>) setcmyk  
Ausgabe 137-0:  $g_p=0.47$ ;  $g_N=1.0$